

نقش ناهمسانگردیهای بلوری و شکلی بر خواص مغناطیسی نانوسمیمهای کبالت و نیکل

روح ا... گلی پور، علی خیاطیان، عبدالعلی رمضانی و محمد الماسی کاشی

پژوهشکده علوم و فناوری نانو، دانشگاه کاشان

(دریافت مقاله: ۸۵/۳/۹ ؛ دریافت نسخه نهایی: ۸۶/۱/۲۰)

چکیده

نانو سیمهای کبالت و نیکل با استفاده از قالب اکسید آلومینیوم حفره‌دار و انباسته کتروشیمیایی متناوب با قطرهای مختلف و زمان انباسته‌های متفاوت ساخته شد. برای نانو سیمهای نیکل با قطر ۳۰ نانومتر میدان وادارندگی با افزایش زمان انباسته ابتدا افزایش و سپس کاهش می‌یابد، در حالی که برای قطرهای بالاتر روند صعودی میدان وادارندگی با افزایش زمان انباسته تغییر نمی‌کند. به طور عام، افزایش قطر نانوسمیمی موجب کاهش وادارندگی می‌شود. برای نانو سیمهای کبالت بیشینه میدان وادارندگی به قطر ۳۰ نانومتر و زمان انباسته ۳۰ ثانیه مربوط است و با افزایش زمان انباسته میدان وادارندگی روند نزولی دارد. اثر ناهمسانگردی بلوری و شکلی بر خواص مغناطیسی نانو سیمهای کبالت و نیکل بررسی شد و مشخص گردید که ناهمسانگردی بلوری برای نانو سیمهای کبالت نقش غالب را ایفا می‌کند در حالی که برای نانو سیمهای نیکل رقابت دو ناهمسانگردی شکلی و بلوری تعیین کننده می‌باشد.

واژه‌های کلیدی: نانو سیمهای کبالت، نانو سیمهای نیکل، ناهمسانگردی بلوری، ناهمسانگردی شکلی، آلومینیوم حفره‌دار

۱. مقدمه

حفره‌دار می‌توان به فیلمهای پلیمری پلی‌کربنات، پلی‌آمید و کوپلیمرها و نیز فیلمهای آلومینا اشاره نمود که با پر نمودن آنها توسط اتمهای مورد نظر نانو سیمهای دلخواه تولید می‌شود [۱۰ و ۱۱]. اگر چه رشد حفره‌ها درون آلومینا با استفاده از الکترولیتیهای اسیدی مناسب برای کاربردهای متنوع به مدت چندین دهه مورد مطالعه بوده است، ولی برای اولین بار در سال ۱۹۹۵ میلادی نشان داده شد که با آندی کردن آلومینیوم تحت شرایط خاص می‌توان یک ساختار حفره‌دار فوق العاده منظم با یک شبکه شش گوشی تولید نمود که بستر مناسبی برای ساخت نانو سیمهای با نسبت طول به قطر بسیار بزرگ می‌باشد [۱۲]. پس از آن گروههای مختلفی در زمینه ساخت نانو حفره‌ها درون فیلم آلومینا و یافتن شرایط بهینه برای افزایش نظم آرایه‌ای تلاش کرده‌اند [۱۳-۱۶]. در این زمینه ساخت آلومینیم آندی با حفره‌هایی با قطر قابل کنترل بین ۴ تا ۲۰۰ نانومتر،

در طی دو دهه گذشته ساخت و کاربرد نانو سیمهای توجه پژوهشگران زیادی را به خود معطوف ساخته است و در این مدت روش‌های ساخت مختلفی مطرح شده است. از جمله این روشها می‌توان به لیتوگرافی [۱]، لیتوگرافی چاپ نانویی [۲]، استفاده از میکروسکوپیهای پرتویی روبشی [۳ و ۴] و روش قالب [۵ و ۶] اشاره نمود. روش قالب به دلیل توانایی بالای آن در تولید آرایه‌ای از نانو سیمهای سهولت و هزینه کم ساخت نسبت به دیگر روشها توجه بیشتری را به خود جلب کرده است. در روش قالب، استفاده از ساختارهای حفره‌ای که دارای کانالهای ریز یکنواخت در مقیاس نانومتری هستند به عنوان بستر مناسبی برای ساخت ابزار نانومتری از قبیل ادوات مغناطیسی، اپتیکی، اپتوالکترونیکی و نیز ساخت شبکه‌ای از ترانزیستورهای اثر میدانی مطرح شده است [۷-۹]. از جمله این ساختارهای

قرار گرفت و با ساخت نانوسمیمهای نیکل با قطر ۳۵ نانومتر و فاصله بین حفره‌ای ۱۰۵ نانومتر، زمان آندسازی مرحله اول را از ۳ ساعت به ۷۲ ساعت رساندند (زمان آندسازی مرحله دوم در هر دو حالت ۲ ساعت است) و افزایش وادارندگی از ۷۲۰ به ۹۶۰ اورستد مشاهده شد [۲۳].

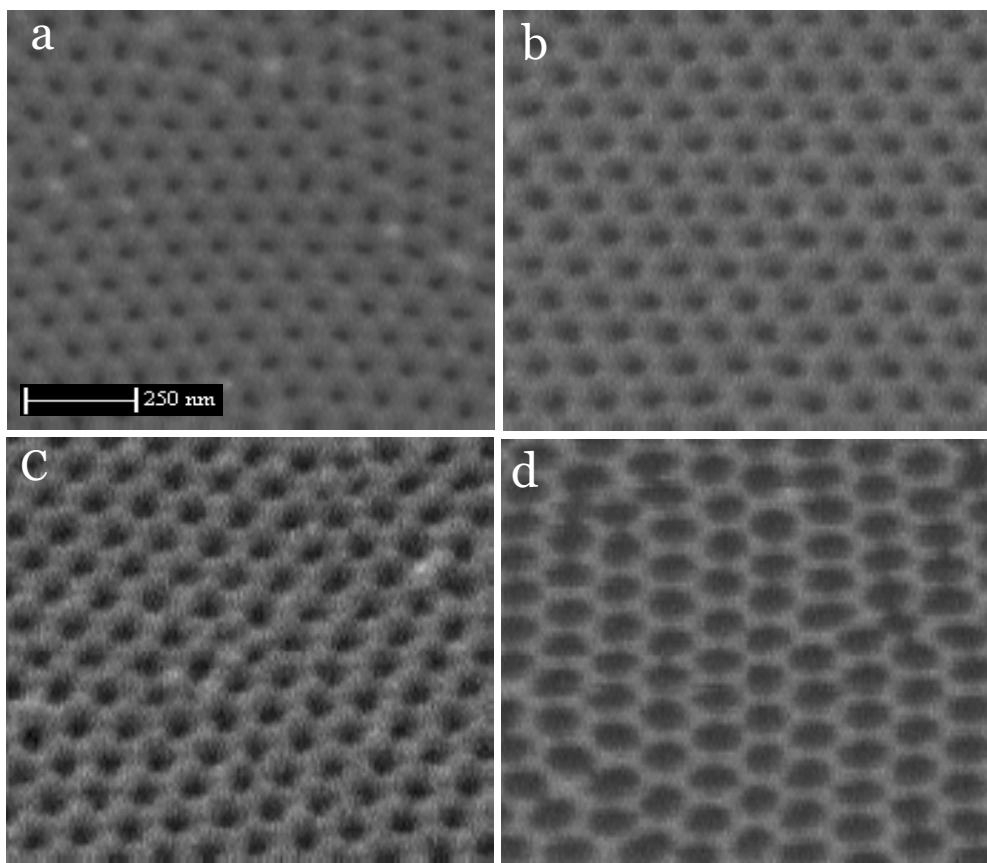
در این مقاله با ایجاد نانوحفرهای منظم درون قالب آلومینا با فاصله حدود ۱۰۰ نانومتر، نانوسمیمهای کبالت و نیکل با قطرهای متفاوت و زمانهای انباشت مختلف ساخته شد و رقابت ناهمسانگردی بلوری و شکلی در بررسی خواص مغناطیسی مورد مطالعه قرار گرفت.

۲. روش ساخت

ورقه آلومینیوم با ضخامت 0.3 میلی‌متر و با درجه خلوص 99.99% با استون و آب دوبار تقطیر شسته شد تا چربی و دیگر آلودگیها از سطح نمونه برطرف شود. آنگاه نمونه برای آزادسازی تنشهای حاصل از بریدن قطعه، درون کوره و در مجاورت هوا به مدت ۳ ساعت تا دمای 450 درجه سانتی‌گراد تابکاری شد و سپس لایه اکسید تشکیل شده روی سطح آلومینیوم، درون محلول سود سه مولار به مدت ۳ دقیقه برطرف گردید. پس از آن نمونه توسط محلول شامل اتانول و اسید پرکلریک که به نسبت حجمی چهار به یک مخلوط شده بودند در جریان ثابت 100 میلی آمپر بر سانتی‌متر مربع الکتروپولیش گردید. در طی این فرایند سطح آلومینیوم کاملاً صاف و صیقلی می‌شود. آنگاه نمونه در محلول اسید اکسالیک 0.3 مولار در دمای 17 درجه سانتی‌گراد و با اعمال ولتاژ مستقیم 40 ولت آندی گردید. بعد از 15 ساعت آندی مرحله اول، نمونه را از سلول الکتروشیمیابی خارج کرده و با قرار دادن آن درون محلول شامل اسید فسفریک و اسید کرمیک به ترتیب با غلظتهای $0/5$ و $0/2$ مولار، لایه ضخیم اکسید آلومینا که در مرحله اول آندی کردن ایجاد شده بود حل گردید. برای به دست آوردن حفره‌هایی که به عنوان قالب برای ساخت نانوسمیمهای مورد نیاز می‌باشد، برای بار دوم نمونه در شرایط آندسازی مرحله اول و به مدت دو ساعت آندی

فاصله بین حفره‌ای 10 تا 500 نانومتر، طولهای متفاوت و چگالی بالای حفره‌ها در واحد سطح (10^0 تا 10^{11} حفره در سانتی‌متر مربع) گزارش شده است.

ساخت نانوسمیمهای مغناطیسی تک عنصری و آلیاژی در قالب آلومینا به منظور افزایش قدرت ذخیره اطلاعات مورد توجه قرار گرفته است [۱۷]. در بررسی خواص مغناطیسی نانوسمیمهای مغناطیسی، می‌توان به دو عامل کلیدی میدان وادارندگی و نسبت مربعی بودن حلقه پسماند اشاره نمود. با الکتروانباشت اتمهای کبالت درون حفره‌های آلومینا و ساخت نانوسمیمهای کبالت و اندازه‌گیری مقدار وادارندگی آنها در میدانهای مغناطیسی تابش شده تحت زوایای مختلف نشان داده شد که ناهمسانگردی شکلی نانوسمیمهای در امتداد محورشان باعث افزایش وادارندگی آنها به بیشینه مقدار خود می‌شود [۱۸]. گروه دیگری از محققان با ساخت نانوسمیمهای کبالت با قطر و طولهای متفاوت مشاهده نمودند با افزایش قطر و کاهش طول، وادارندگی نانوسمیمهای کاوش می‌یابد [۱۹]. همچنین در مطالعه دیگری با ساخت نانوسمیمهای کبالت در حضور میدان مغناطیسی اعمال شده عمودی و مماسی بر سطح فیلم و اندازه‌گیری وادارندگی عمود بر سطح فیلم و بررسی ساختار بلوری معلوم شد که محور آسان شش گوشی کبالت در امتداد میدان اعمال شده جهتگیری می‌نماید و به افزایش میدان وادارندگی می‌انجامد [۲۰]. گروهی از محققین با ساخت نانوسمیمهای نیکل با قطر 140 تا 270 نانومتر و طول 2 میکرومتر مشاهده کردند که با افزایش قطر نانوسمیمهای یک گذار از جهت مغناطش آسان به جهت مغناطش سخت اتفاق می‌افتد که آن را ناشی از ترکیب ناهمسانگردی شکلی و جفت شدگی مغناطواستاتیکی بین نانوسمیمهای نیکل دانستند [۲۱]. مطالعه بر روی نانوسمیمهای نیکل با قطر 15 تا 50 نانومتر نشان داد که وادارندگی نانوسمیمهای با قطر 15 نانومتر در 300 درجه کلوین با افزایش طول از 200 اورستد تا 450 اورستد تغییر می‌کند و از $1/7$ تا 300 درجه کلوین برای تمامی طولها با افزایش دما کاهش می‌یابد [۲۲]. بالاخره تأثیر افزایش زمان مرحله نخست آندسازی را بر روی وادارندگی مورد مطالعه



شکل ۱. تصویر SEM از حفره‌های با قطرهای متفاوت (۳۰-a، ۴۰-b، ۵۰-c و ۸۰-d نانومتر).

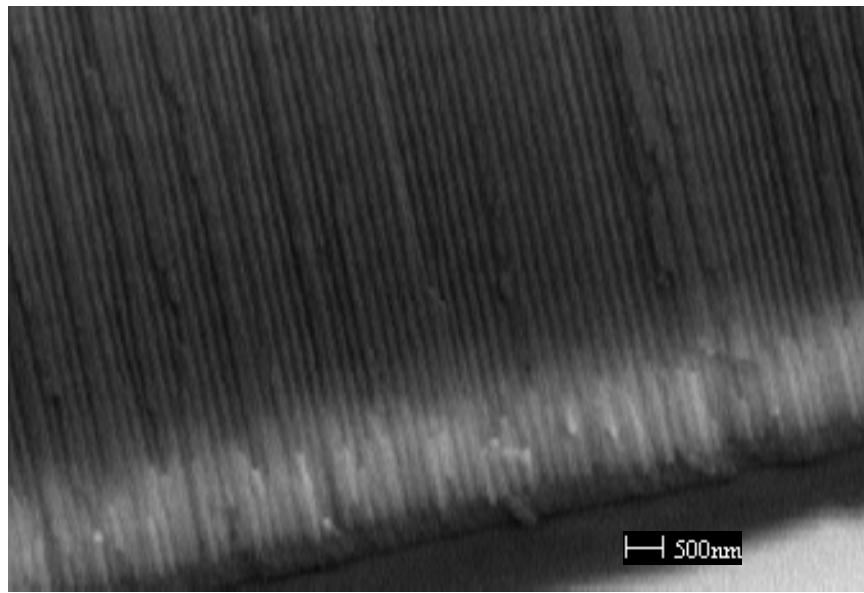
۰/۳ مولار جایگزین سولفات کبالت گردید. برای الکتروانباست نانوسمیمهای کبالت از ولتاژ سینوسی با مقدار قله به قله ۳۰ ولت و فرکانس ۲۵۰ هرتز استفاده شد و برای ساخت نانوسمیمهای نیکل فرکانس ۵۰ هرتز مورد استفاده قرار گرفت. دمای الکتروانباست ۲۵ درجه سانتی‌گراد در نظر گرفته شد و مدت زمان انباست برای کبالت ۳۰، ۳۶، ۴۰ و ۴۸ ثانیه و برای نیکل ۱۲۰، ۲۴۰ و ۳۶۰ ثانیه انتخاب گردید. در شکل ۲ تصویر عرضی فیلم آلومینی احفره دار که در آن نانوسمیمهای کبالت انباست شده است دیده می‌شود. در این تصویر از مدل پس پراکندگی میکروسکوپ الکترونی روبشی به منظور افزایش هر چه بیشتر میزان تشخیص بین عناصر بهره گرفته شده است.

۳. نتایج و بررسیها

حلقه‌های پسماند نمونه‌ها با استفاده از مغناطومتر گرادیان

شد. بدین ترتیب ساختار حفره‌ای منظم با حفره‌هایی با قطر و فاصله بین حفره‌ای به ترتیب ۳۰ و ۱۰۰ نانومتر و طولی در حدود ۱۲ تا ۱۴ میکرومتر تولید شد. سپس با استفاده از فرایند سونش شیمیایی درون محلول اسید فسفوریک ۰/۵ مولار در دمای ۳۰ درجه سانتی‌گراد در زمانهای ۸، ۱۶، ۲۴ و ۴۰ دقیقه، قطر حفره‌ها به ترتیب به ۴۰، ۵۰، ۶۰ و ۸۰ نانومتر افزایش یافت. بعد از تولید حفره‌ها در فیلم آلومینا، با کاهش تدریجی ولتاژ آندایز تا ۸ ولت و نازک نمودن لایه اکسید سدی کف حفره‌ها، نمونه آماده الکتروانباست گردید. شکل ۱ تصویر میکروسکوپ الکترونی تهیه شده از سطوح با حفره‌های با قطر متفاوت را نشان می‌دهد.

برای پر نمودن نانوحفره‌ها از روش انباست الکتروشیمیایی تناوبی استفاده شد. برای تولید نانوسمیمهای کبالت، الکترولیت مخلوطی از سولفات کبالت ۰/۳ مولار و اسید بوریک ۴۵ گرم در لیتر بود و برای ساخت نانوسمیمهای نیکل سولفات نیکل



شکل ۲. تصویر میکروسکوپ الکترونی رویشی از نانو سیمهای کبالت درون قالب آلومنیا.

می دهد. چنان که در شکل ۵ دیده می شود نانو سیمهای با قطر ۳۰ نانومتر و مدت انباشت ۳۰ ثانیه دارای میدان و ادارندگی بیشینه با مقدار ۱۶۲۰ اورستد می باشند و افزایش زمان انباشت به کاهش میدان و ادارندگی منجر می شود به طوری که برای نانو سیمهای با زمان انباشت ۲۴۰ ثانیه، و ادارندگی به حدود ۸۱۰ اورستد کاهش می یابد. به همین ترتیب روند نزولی و ادارندگی با زمان انباشت برای سه قطر ۴۰، ۵۰ و ۸۰ نانومتر نیز دیده می شود. با وجود آنکه با افزایش مدت زمان انباشت، طول نانو سیمهای و درنتیجه ناهمسانگردی شکلی افزایش می یابد، انتظار می رود که مقدار میدان و ادارندگی با افزایش طول افزایش یابد، اما در اندازه گیریهای انجام شده روی نمونه ها خلاف این موضوع دیده شد (شکل ۵). برای توجیه روند نزولی و ادارندگی با افزایش طول، الگوهای حاصل از پراش اشعه ایکس نانو سیمهای مورد بررسی قرار گرفت. از آنجا که پس از انباشت، بستر آلومنیوم همچنان در زیر لایه آلومنیا باقی است و خطوط طیفی آلومنیوم مانع شناسایی دقیق کبالت بود، برای بررسی الگوی پراش نانو سیمهای کبالت، بستر آلومنیومی از پشت فیلمها برداشته شد. شکل ۶ الگوی پراش اشعه ایکس مربوط به نمونه هایی با قطر ۳۰ نانومتر که با زمانهای ۳۰ و ۲۴۰ ثانیه الکترو انباشت شده اند را نمایش می دهد.

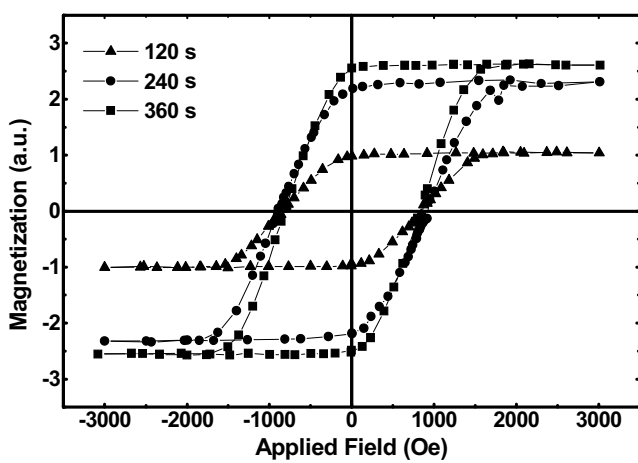
نیروی متناوب AGFM^۱ رسم شد. دقت اندازه گیری این مغناطومتر در حدود ۱۰ اورستد است. در شکلهای ۳ و ۴ به ترتیب حلقه های پسماند نانو سیمهای کبالت و نیکل با قطر ۳۰ نانومتر و زمانهای انباشت متفاوت نشان داده شده است.

۴. خواص مغناطیسی نانو سیمهای کبالت

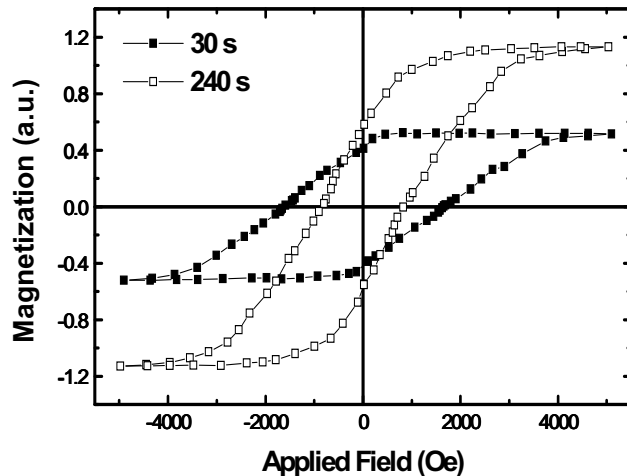
مقدار میدان و ادارندگی در امتداد نانو سیمهای کبالت با استفاده از حلقه های پسماند اندازه گیری شده است و مقدار آن به صورت تابعی از قطر نانو سیم برای زمانهای انباشت متفاوت در شکل ۵ دیده می شود.

همان طور که شکل ۵ نشان می دهد میدان و ادارندگی در امتداد طول نانو سیمهای به طور متوسط بیش از ۱۰۰۰ اورستد می باشد که چند ده مرتبه از مقدار و ادارندگی کبالت در حالت توده ای بزرگتر است. همچنین میدان و ادارندگی برای نانو سیمهای کبالت به مراتب از مقدار آن برای لایه های نازک کبالت بزرگتر است. در حقیقت حضور Al_2O_3 به عنوان ماده غیر مغناطیسی میان سیمهای مغناطیسی باعث کاهش اثر نیروهای دوقطبی مبادله شده میان نانو سیمهای می گردد و در نتیجه و ادارندگی مغناطیسی آنها را به میزان قابل ملاحظه ای افزایش

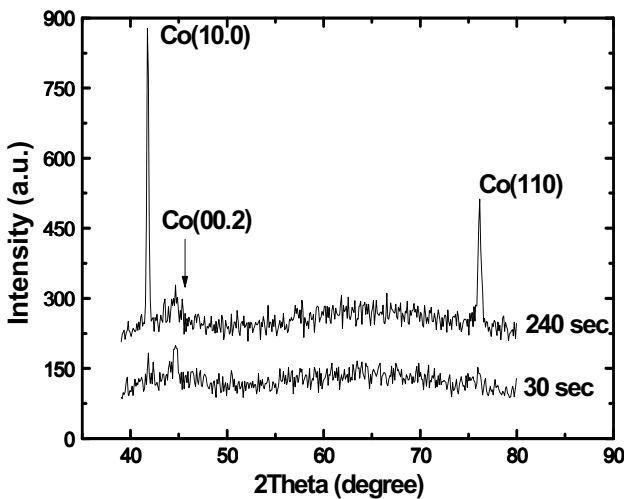
۱. Alternating Gradient Force Magnetometer



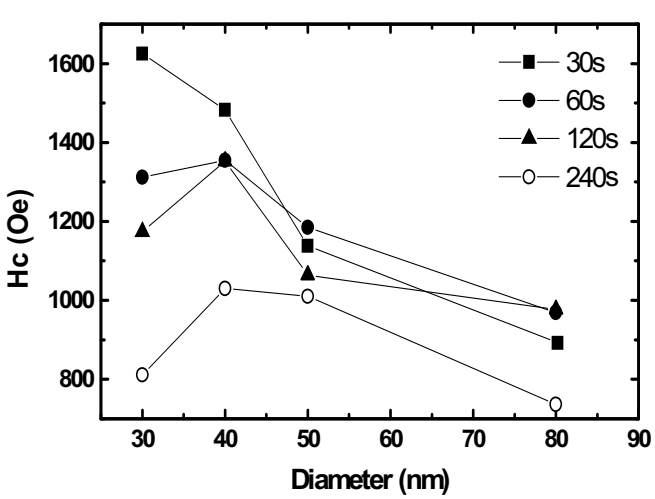
شکل ۴. حلقه‌های پسماند نانوسمیمهای نیکل با قطر ۳۰ نانومتر و زمانهای انباشت مختلف.



شکل ۳. حلقه‌های پسماند نانوسمیمهای کبالت با قطر ۳۰ نانومتر و زمانهای انباشت مختلف.



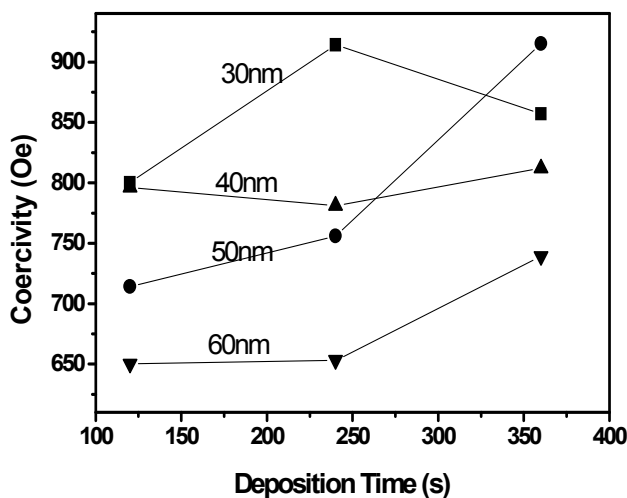
شکل ۶. الگوی پراش اشعه ایکس نانوسمیمهای کبالت با قطر ۳۰ نانومتر و زمانهای انباشت ۳۰ و ۲۴۰ ثانیه.



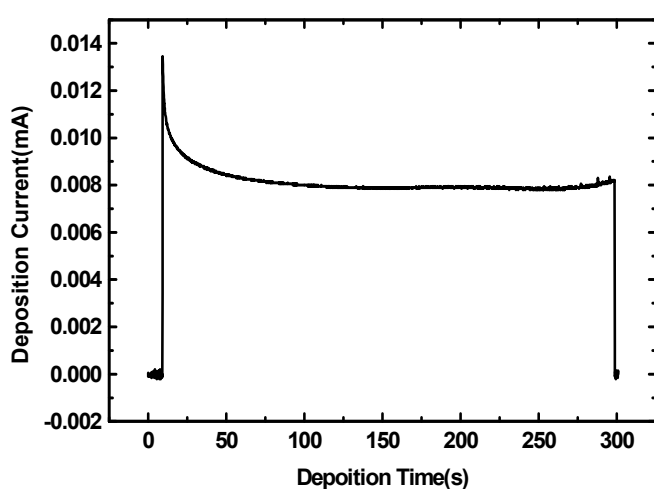
شکل ۵. نیروی وادارندگی در امتداد طول نانوسمیمهای کبالت بر حسب قطر سیمها برای زمانهای انباشت مختلف.

ترجیحی می‌باشد که بیانگر توازی محور آسان با محور نانوسمیها می‌باشد و لذا ناهمسانگردی بلوری و ناهمسانگردی شکلی در یک راستا بوده و اثر سازنده روی یکدیگر دارند و بدین دلیل وادارندگی در این نمونه بیشینه مقدار را دارد. برای نمونه با زمان انباشت ۲۴۰ ثانیه خط طیفی (۱۰۰) خود ترجیحی اصلی است در حالی که خط طیفی (۰۰۲) دارای شدت کمی می‌باشد. بدین لحاظ با آنکه نانوسمیها در این نمونه دارای بیشترین اثر ناهمسانگردی شکلی در راستای محور سیم می‌باشند ولی به علت آنکه محور آسان ساختار شش گوشی

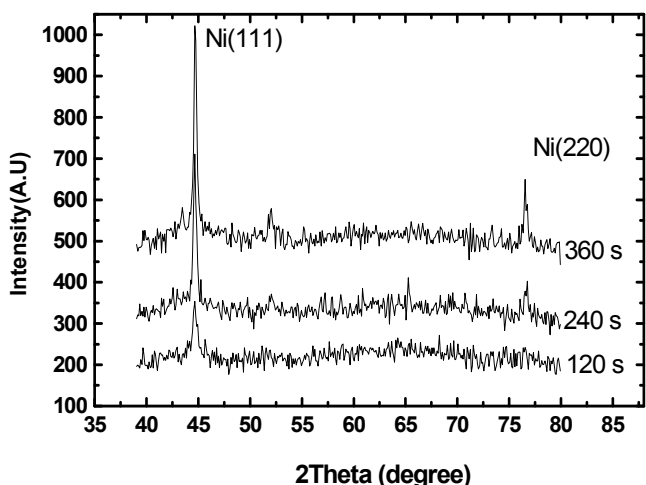
از الگوهای پراش نانوسمیمهای کبالت آشکار است که فاز ساختاری نانوسمیها شش گوشی تنگ پکیده می‌باشد که دارای خطوط طیفی در زوایای ۴۱/۷، ۴۴/۶ و ۷۶/۱ درجه به ترتیب مربوط به صفحات بلوری با جهات (۱۰۰)، (۰۰۲) و (۱۱۰) است. چنانکه می‌دانیم خطوط طیفی (۱۰۰) و (۱۱۰) بیانگر حضور محور آسان عمود بر محور نانوسمی می‌باشد در حالی که حضور خط طیفی (۰۰۲) بیانگر چرخش محور شش گوشی موازی محور نانوسمی است [۲۴]. در نمودار پراش می‌توان دید که برای نمونه با زمان انباشت ۳۰ ثانیه، خط طیفی (۰۰۲) خود



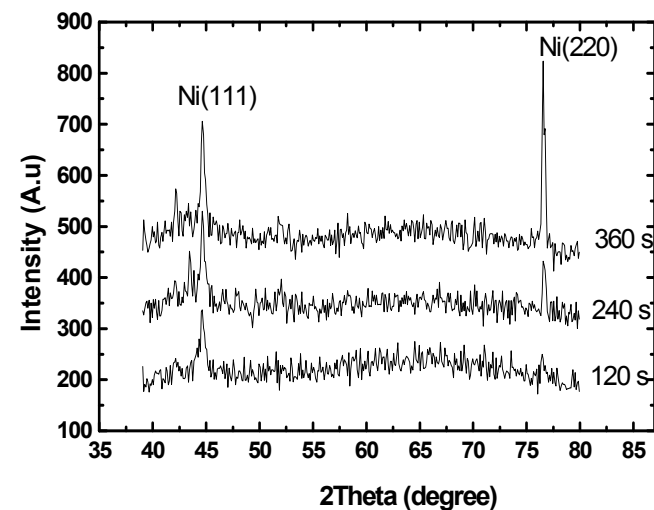
شکل ۸. میدان وادارندگی بر حسب زمان انباشت برای نانوسیمهای نیکل با قطرهای مختلف.



شکل ۷. منحنی جریان انباشت بر حسب زمان انباشت.



شکل ۱۰. الگوی پراش پرتو ایکس از نانوسیمهای نیکل با قطر ۶۰ نانومتر و زمانهای انباشت مختلف.



شکل ۹. الگوی پراش پرتو ایکس از نانوسیمهای نیکل با قطر ۳۰ نانومتر و زمانهای انباشت ۲، ۴ و ۶ دقیقه.

می تواند به رشد بلورها با جهتگیری محور آسان هم راستا با طول نانوسیمهها منجر شود. اما با گذشت زمان نرخ رشد کاهش یافته و جهت قرارگیری محور آسان به سمت امتداد عمود بر محور نانوسیمهها تغییر می نماید. همچنین در الگوی پراش نانوسیمهای با زمان انباشت ۳۰ و ۲۴۰ ثانیه (شکل ۶) شدت خط طیفی (۰۰۲) تقریباً یکسان می باشد که بیانگر رشد نانوسیمهها با جهت ترجیحی محور آسان در امتداد محور سیم در آغاز انباشت در هر دو نمونه می باشد. عامل دیگری که تأثیر تغییرات آن روی وادارندگی

کاملاً به سمت جهت عمود بر محور نانوسیم متمایل گردیده است میدان وادارندگی به کمترین مقدار خود در حدود 810° اورستد می رسد. همین روند میدان وادارندگی برای نانوسیمهای با قطرهای بزرگتر نیز برقرار است.

به نظر می رسد تفاوت جهتگیری محور آسان در زمانهای انباشت کوتاه و بلند به چگونگی انباشت در شروع فرایند الکتروانباشت مرتبط باشد. شکل ۷ تغییرات جریان الکتروانباشت نسبت به زمان را نشان می دهد. جریان نسبتاً زیاد الکتروانباشت در آغاز فرایند بیانگر نرخ انباشت بیشینه بوده که

زمانهای انباشت مختلف نشان می‌دهد. برای نانوسیمهای با زمان انباشت ۱۲۰ ثانية جهت (۱۱۱) ترجیحی است در حالی که بعد از ۲۴۰ ثانية انباشت، رشد بلور در جهت (۲۲۰) بیشتر می‌گردد و در نهایت در ۳۶۰ ثانية جهت (۲۲۰) ترجیحی رشد بلور در نانوسیمهای می‌شود. البته چرخش جهت رشد بلوری در شکل ۱۰ نیز برای نانوسیمهای ۶۰ نانومتری به خوبی مشاهده می‌شود با این تفاوت که در مورد این نانوسیمهای جهت (۱۱۱) همچنان ترجیحی باقی می‌ماند.

در نانوسیمهای با قطر ۳۰ نانومتر، در زمان انباشت ۱۲۰ ثانية با توجه به اینکه جهت (۱۱۱) همان جهت آسان نانوسیم است بنابراین تنها ناهمسانگردی شکلی عامل موثر است. با زیادتر شدن زمان انباشت به ۲۴۰ ثانية و یا به عبارتی افزایش طول نانوسیمهای اگر چه ناهمسانگردی بلوری (با توجه به آنکه سیمها در جهت (۲۲۰) نیز رشد می‌کنند) تأثیر بیشتری پیدا می‌کند اما تأثیر ناهمسانگردی شکلی به دلیل افزایش طول همچنان غالب است و بنابراین وادارندگی نسبت به زمان انباشت ۱۲۰ ثانية افزایش می‌یابد. سرانجام در زمان انباشت ۳۶۰ ثانية هر چند طول نانوسیمهای افزایش پیدا کرده است ولی به دلیل آنکه جهت (۲۲۰) جهت رشد ترجیحی می‌باشد و یا به عبارت دیگر محور آسان به سمت محور عمود بر نانوسیم می‌چرخد، به کاهش نیروی وادارندگی می‌انجامد حتی اگر طول نانوسیمهای و به تبع آن ناهمسانگردی شکلی افزایش یابد.

در مورد نانوسیمهای با قطر ۶۰ نانومتر تحلیل مشابهی صادق است اما باید توجه داشت که در این قطر در زمان ۳۶۰ ثانية جهت (۲۲۰) دیگر جهت ترجیحی نیست و بنابراین همچنان افزایش طول موجب افزایش ناهمسانگردی شکلی و در نتیجه افزایش وادارندگی می‌شود. با در نظر گرفتن این مشاهدات به نظر می‌رسد که رفتار چهار منحنی در شکل ۸ بر اساس رقابت بین تأثیر ناهمسانگردی شکلی و ناهمسانگردی بلوری قابل توجیه است.

مغناطیسی مورد بررسی قرار گرفته، تغییر قطر سیمها می‌باشد که نتایج آن در شکل ۵ دیده می‌شود. از منحنیهایی که وابستگی وادارندگی به قطر سیم (برای سیمهای با طولهای متفاوت) را نشان می‌دهد آشکار است که برای نانوسیمهای ساخته شده با زمان انباشت ۳۰ ثانية، با افزایش قطر سیمها میدان وادارندگی کاهش می‌یابد. به نظر می‌رسد با افزایش قطر نانوسیمهای تعداد حوزه‌های مغناطیسی که در عرض سیم قرار می‌گیرند افزایش یافته و لذا کاهش وادارندگی مغناطیسی در میدان اعمال شده به موازات محور سیم را در پی خواهد داشت. همچنین این پدیده می‌تواند در اثر نزدیکتر شدن سیمها به یکدیگر باشد که موجب افزایش اثر نیروهای مغناطیسی استاتیک سیمها شده و در نتیجه میدان وادارندگی کاهش می‌یابد.

۵. خواص مغناطیسی نانوسیمهای نیکل

برای نانوسیمهای نیکل با استفاده از حلقه‌های پسماند، میدان وادارندگی مغناطیسی به صورت تابعی از زمان انباشت برای قطرهای متفاوت به دست آمده است که در شکل ۸ دیده می‌شود.

در شکل ۸ می‌توان دید که تغییرات نیروی وادارندگی بر حسب زمان انباشت برای نانوسیمهای به قطر ۳۰ نانومتر در مقایسه با دیگر قطرها روند متفاوتی از خود به نمایش می‌گذارد به طوری که میدان وادارندگی ابتدا افزایش و سپس کاهش می‌یابد، اما برای دیگر قطرها میدان وادارندگی با افزایش زمان انباشت روند تقریباً صعودی دارد. به منظور تحلیل و بررسی این موضوع از الگوهای پراش پرتو ایکس برای نانوسیمهای با قطر ۳۰ و ۶۰ نانومتر استفاده شد که این الگوهای در شکل ۹ و ۱۰ نشان داده شده‌اند.

در صورتی که بلورهای نیکل به صورت شبکه مرکز وجهی با جهت آسان (۱۱۱) در راستای محور نانوسیم رشد کند موجب افزایش میدان وادارندگی در جهت طول نانوسیم می‌گردد. شکل ۹ چرخش جهت ترجیحی رشد بلوری از (۱۱۱) به (۲۲۰) را برای نانوسیمهای با قطر ۳۰ نانومتر و

ناهمسانگردی بلوری بر ناهمسانگردی شکلی میدان وادارندگی روند نزولی دارد. برای نانوسيمهای نيكل از آنجا که ناهمسانگردی بلوری و ناهمسانگردی شکلی از مرتبه تقریباً يکسانی برخوردارند رقابت بین آنها به یک نقطه بیشینه میدان وادارندگی در زمان انباست ۲۴۰ ثانیه منجر می‌شود. در هر دو مورد کبالت و نيكل با افزایش قطر نانوسيم و در نتیجه میل سیستم به سمت توده‌ای شدن، نقش عواملی نظیر برهمکنش حوزه‌های مغناطیسی و برهمکنش مغناطواستاتیک بین نانوسيمهها افزایش می‌یابد و منجر به کاهش میدان وادارندگی می‌گردد.

۶. نتیجه‌گیری نهایی

ناهمسانگردی شکلی و ناهمسانگردی بلوری نقش عملهای را در تعیین میدان وادارندگی نانوسيمهای کبالت و نيكل ايفا می‌کنند و اصولاً رقابت بین اين دو در تعیین خواص مغناطیسي بسیار مؤثر است.

نتایج بررسیها بر روی نانوسيمهای کبالت نشان داد که با افزایش طول، میدان وادارندگی برای قطر 30 نانومتر کاهش می‌یابد. این موضوع با توجه به رقابت دو ناهمسانگردی فوق قابل تفسیر است. با افزایش طول، ناهمسانگردی شکلی افزایش می‌یابد در حالی که محور آسان بلوری به جهت عمود بر محور نانوسيم می‌چرخد. با توجه به نقش غالب

مراجع

- Lett.* **72** (1998) 1173.
14. S Shigubara, O Okino and Y Sayama, *Jpn. J. Appl. Phys.* **36** (1997) 7791.
 15. M Almasi Kashi and A Ramazani, *J. Phys. D: Appl. Phys.* **38** (2005) 2396.
 16. H Masuda, K Yada and A Osaka, *Jpn. J. Appl. Phys.* **37** (1998) L1340.
 17. K Nielsch, F Müller and A Li, *Adv. Mater.* **12** (2000) 582.
 18. S Yang, H Zhu and G Ni, *J. Appl. Phys. D* **33** (2000) 2388.
 19. H Zeng, M Zheng and D J Sellmyer, *J. Appl. Phys.* **87** (2000) 4718.
 20. G Shihui, L Chao and M Xiao, *J. Appl. Phys.* **90** (2001) 509.
 21. L Tao, *Chin Appl. Phys. Lett.* **21** (2004) 729.
 22. S Kato, H Kitazawa and G Kido, *J. Magnetism and Magnetic Matt.* **36** (2004) 272.
 23. M Vazquez, K Pirota and M Prida, *J. Appl. Phys.* **95** (2004) 6642.
 24. M Almasi Kashi, A Ramazani and A Khayyatian, *J. Phys. D: Appl. Phys.* **39** (2006) 4130.
 1. D Natelson, *Cond. Mat.* **1** (2003) 1.
 2. J Martin, J Nogues and K Schullerc, *J. Magn. and Magn. Mate.* **256** (2003) 449.
 3. A Baski, *Advanced Semiconductor and Organic Nano-techniques*, Part 3, Academic Press (2002).
 4. Y Chen, J Hsu and H Lin, *Nanotechnology* **16** (2005) 1112.
 5. Y Chen, A Douglas and A Ohlberg, *Appl. Phys. Lett.* **82** (2003) 1610.
 6. H He and N Tao, *Encyclopedia of Nanoscience and Nanotechnology X*, **1** (2003).
 7. K Nielsch, R Wehrspohn and S Fischer, *Mat. Res. Soc. Symp. Proc.* 705, Y. 9. 3. 1 (2002).
 8. S Yang, H Zhu and G D L Yu, *J. Appl. Phys. D* **33** (2000) 2388.
 9. H Wang, J Wang, and Y Liu, *J. Appl. Phys. Lett.* **98** (2004) 5171.
 10. A Mukenga and J Rivas, *J. Appl. Phys.* **89** (2001) 3393.
 11. T Albrecht, J Schotter and N Emley, *Science* **290** (2000) 2126.
 12. H Masuda and K Fukuda, *Science* **268** (1995) 1466.
 13. O Jessensky, F Muller and U Gosele, *J. Appl. Phys.*